

## 12. Užití Riemannova integrálu

### 12.1. Přibližné metody výpočtu Riemannova integrálu

Existuje více přibližných metod, kterými lze provádět výpočet Riemannova integrálu. Označení „přibližná metoda“ není žádnou degradací příslušné metody, neboť zejména s využitím výpočetní techniky lze takto provádět výpočet Riemannova integrálu prakticky s libovolnou přesností. Takže v aplikacích má tento postup stejnou hodnotu a rozsáhlejší uplatnění než klasický výpočet užitím Newtonova vzorce, protože – jak bylo naznačeno již v kapitole 10 – primitivní funkcí ve tvaru pro použití Newtonova vzorce lze získat jen v některých speciálních případech.

Předpokládáme-li  $f(x) \geq 0$  na  $\langle a, b \rangle$ , jde při výpočtu Riemannova integrálu o výpočet obsahu základního obrazce, viz 11.1.

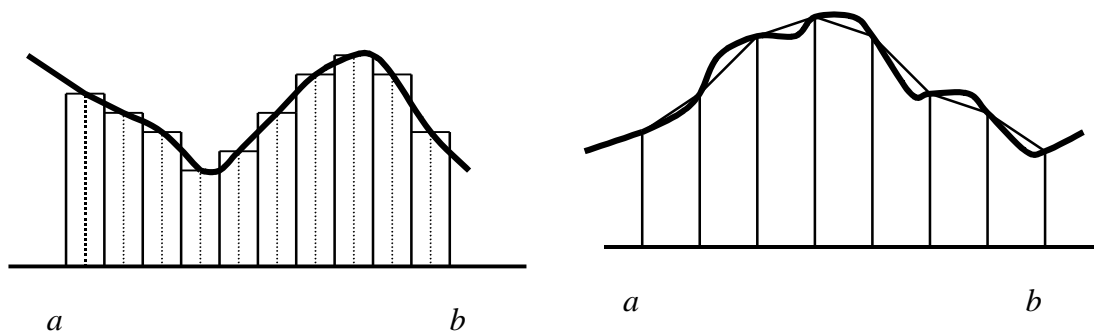
#### *Metoda obdélníková*

Princip této metody spočívá v tom, že určitý integrál nahradíme vhodným integrálním součtem (tj. s dostatečně jemným dělením a s vhodnými body  $\xi_i$  v elementech dělení).

Zpravidla volíme dělení na  $n$  stejných elementů, tedy délka jednoho elementu (tzv. krok  $h$ ) je  $h = \Delta x_i = \frac{b-a}{n}$ , za  $\xi_i$  volíme středy elementů. Obsah základního obrazce pokládáme přibližně roven integrálnímu součtu, tedy součtu obsahů obdélníků o stranách  $f(\xi_i)$  a  $h$ . Pro obdélníkovou metodu tak máme vzorec

$$\int_a^b f(x) dx \approx \frac{b-a}{n} \sum_{i=1}^n f(\xi_i).$$

Chybu metody lze stanovit např. užitím horních součtů a dolních součtů (viz 11.1) což je zvlášť jednoduché pro monotónní funkce.



#### *Metoda lichoběžníková*

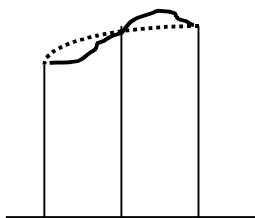
Princip této metody spočívá v tom, interval  $\langle a, b \rangle$  rozdělíme na  $n$  stejných elementů a funkci nahradíme lomenou čarou (viz obr.). Obsah základního obrazce pak přibližně nahradíme součtem obsahů elementárních lichoběžníků se základnami  $f(x_{i-1})$ ,  $f(x_i)$  a s výškou  $h = \frac{b-a}{n}$ . Tedy

$$\int_a^b f(x) dx \approx \frac{h}{2} \sum_{i=1}^n [f(x_{i-1}) + f(x_i)] = h \left[ \frac{f(x_0)}{2} + \sum_{i=1}^{n-1} f(x_i) + \frac{f(x_n)}{2} \right].$$

## Metoda Simpsonova

Interval  $\langle a, b \rangle$  rozdělíme na sudý počet  $2n$  elementů o šířce  $h = \frac{b-a}{n}$ , z nichž

vytvoříme dvojice elementů. V každé dvojici pak funkci  $f$  nahradíme kvadratickou funkcí (která je dané funkci  $f$  rovna na krajích a uprostřed těchto „dvojelementů“), takže k výpočtu obsahu vzniklých „křivočarých lichoběžníků“ lze využít Simpsonova vzorce.



$$P = \frac{1}{6} \sum_{i=0}^{n-1} (x_{2i+2} - x_{2i}) [f(x_{2i}) + 4f(x_{2i+1}) + f(x_{2i+2})].$$

Provedeme-li sčítání přes všechny elementy, dostaneme výslednou formuli pro Simpsonovu metodu:

$$\int_a^b f(x) dx \approx$$

$$\frac{h}{3} \{ [f(x_0) + f(x_{2n})] + 2[f(x_2) + f(x_4) + \dots + f(x_{2n-2})] + 4[f(x_1) + f(x_3) + \dots + f(x_{2n-1})] \}$$

## 12.2. Užití určitého integrálu v geometrii

### Obsah rovinného obrazce

Uvažujme dále jen spojitě funkce. Z geometrického významu Riemannova integrálu plyne, že pro funkci  $f(x) \geq 0$  definovanou na  $\langle a, b \rangle$  je obsah křivočarého lichoběžníku (základního obrazce) roven

$$P = \int_a^b f(x) dx.$$

Pozor! Je-li  $f(x) < 0$  (tato část grafu funkce je pod osou  $x$ ), dostaneme obsah se záporným znaménkem. Pokud bychom použili předchozí vzorec na funkci, která na  $\langle a, b \rangle$  střídá znaménka, dostaneme rozdíl obsahů částí základního obrazce nad osou  $x$  a pod osou  $x$ , tedy výsledek, který nás zpravidla nezajímá. (Interpretujte takto např. fakt, že

$$\int_0^{2\pi} \sin x dx = 0.)$$

Platí-li na intervalu  $\langle a, b \rangle$  vztah  $0 \leq g(x) \leq f(x)$ , je přímkami  $x = a$ ,  $x = b$  a grafy obou funkcí ohraničena oblast *normální vzhledem k  $x$*  a její obsah se vypočte vzorcem

$$P = \int_a^b [f(x) - g(x)] dx.$$

Je-li rovinný obrazec ohraničen křivkou danou parametricky  $x = \varphi(t)$ ,  $y = \psi(t)$ ,  $t \in \langle \alpha, \beta \rangle$ , pak

$$P = \left| \int_{\alpha}^{\beta} \psi(x) \varphi'(x) dx \right|.$$

Obsah obrazce ohraničeného křivkami v polárních souřadnicích  $\rho = \rho(\varphi)$  od  $\varphi_1$  do  $\varphi_2$  je dán vzorcem

$$P = \frac{1}{2} \int_{\varphi_1}^{\varphi_2} \rho^2(\varphi) d\varphi.$$

K tomuto vzorci dojdeme využitím vztahu  $\Delta P = \frac{1}{2} \rho(\varphi) \rho(\varphi + \Delta\varphi) \Delta\varphi$ .

**Úloha 12.2.1.** Vypočtete obsah kruhu o poloměru  $r$ .

[ a) Z rovnice kružnice  $x^2 + y^2 = r^2$  vyjádříme horní polokružnici a použijeme ji do prvního z výše uvedených vzorců:

$$P = 2 \int_{-r}^r \sqrt{r^2 - x^2} dx = \dots$$

b) V parametrickém vyjádření máme  $x = r \cos t, y = r \sin t, t \in \langle 0, 2\pi \rangle$  a odsud

$$P = \left| - \int_0^{2\pi} r^2 \sin^2 t dt \right| = \dots$$

c) Nejjednodušší je zde výpočet užitím polárních souřadnic, neboť kružnice o středu  $O$  a poloměru  $r$  má rovnici  $\rho = r$  pro  $\varphi \in \langle 0, 2\pi \rangle$ . Proto

$$P = \frac{1}{2} \int_0^{2\pi} r^2 d\varphi = \dots = \pi r^2 . ]$$

### Objem tělesa

Pomocí Riemannova integrálu funkce jedné proměnné lze počítat objemy ve dvou případech.

a) Těleso leží mezi rovinami  $x = a, x = b$  a známe funkci  $P(x)$ , jejíž hodnoty znamenají obsah řezu tělesa rovinou kolmou k ose  $x$ .

Element objemu je  $\Delta V = P(x) \cdot \Delta x$ , tj.  $dV = P(x) \cdot dx$ , a objem tělesa je

$$V = \int_a^b P(x) dx .$$

b) Rotační těleso, kde osou rotace je osa  $x$  a které vznikne rotací křivočarého lichoběžníku ohraničeného grafem funkce  $f$  na intervalu  $\langle a, b \rangle$ . Zde je řezem kruh o obsahu  $\pi[f(x)]^2$  a platí

$$V = \pi \int_a^b [f(x)]^2 dx = \pi \int_a^b y^2 dx .$$

**Úloha 12.2.2.** Určete objem koule o poloměru  $r$ .

[ Koule vznikne rotací grafu funkce  $y = \sqrt{r^2 - x^2}$  kolem osy  $x$  a proto

$$V = \pi \int_{-r}^r (r^2 - x^2) dx = \dots = \frac{4}{3} \pi r^3 . ]$$

### Délka křivky

Nechť je křivka  $\ell$  dána parametricky:  $x = \varphi(t)$ ,  $y = \psi(t)$ ,  $z = \chi(t)$ ,  $t \in \langle \alpha, \beta \rangle$ , kde  $\varphi'(t)$ ,  $\psi'(t)$ ,  $\chi'(t)$  jsou spojité a  $\forall t \in \langle \alpha, \beta \rangle$  platí  $[\varphi'(t)]^2 + [\psi'(t)]^2 + [\chi'(t)]^2 > 0$ . Křivka  $\ell$  je prostorová nebo rovinná (pokud některá z funkcí  $\varphi$ ,  $\psi$ ,  $\chi$  je identicky rovna nule).

Uvažujme libovolné dělení  $D$  intervalu  $\langle \alpha, \beta \rangle$ :  $\alpha = t_0 < t_1 < t_2 < \dots < t_n = \beta$ , označme dělicí body křivky  $\ell$ :  $M_i = [\varphi(t_i), \psi(t_i), \chi(t_i)]$ ,  $i = 0, 1, 2, \dots, n$  a dále délku lomené čáry  $M_0 M_1 \dots M_n$  označme  $\sigma(\ell, D) = \sum_{i=1}^n |M_{i-1} M_i|$ . Délka křivky  $\ell$  se pak definuje:  $s(\ell) = \sup_D \sigma(\ell, D)$ .

Uvažujme dále rovinnou křivku. Délka jedné strany lomené čáry je

$$\Delta s = \sqrt{\Delta x^2 + \Delta y^2} = \sqrt{\left(\frac{\Delta x}{\Delta t}\right)^2 + \left(\frac{\Delta y}{\Delta t}\right)^2} \Delta t, \text{ takže } \frac{\Delta s}{\Delta t} = \sqrt{\left(\frac{\Delta x}{\Delta t}\right)^2 + \left(\frac{\Delta y}{\Delta t}\right)^2}.$$

Pro  $\Delta t \rightarrow 0$  pak máme  $\frac{ds}{dt} = \sqrt{[\varphi'(t)]^2 + [\psi'(t)]^2}$ , tedy  $ds = \sqrt{[\varphi'(t)]^2 + [\psi'(t)]^2} dt = \sqrt{dx^2 + dy^2}$ . Ježto  $\sigma(\ell, D) = \sum_{i=1}^n \Delta s_i$ , dá se vyvodit, že  $s(\ell) = \int_{\alpha}^{\beta} ds$ . Odsud

$$s(\ell) = \int_{\alpha}^{\beta} \sqrt{[\varphi'(t)]^2 + [\psi'(t)]^2} dt.$$

**Úloha 12.2.3.** Vypočítejte délku kružnice o poloměru  $r$ .

[ Kružnici vyjádříme v parametrickém tvaru  $x = r \cos t$ ,  $y = r \sin t$ ,  $t \in \langle 0, 2 \rangle$ . Vypočteme  $ds = \dots = r dt$ , takže  $s(l) = \int_0^{2\pi} r dt = 2\pi r$ . ]

Je-li křivka dána explicitně rovnicí  $y = f(x)$ , je to vlastně zvláštní případ parametrického zadání  $x = x$ ,  $y = f(x)$ ,  $x \in \langle a, b \rangle$ . Z toho plyne  $ds = \sqrt{1 + [f'(x)]^2} dx$ , takže

$$s(\ell) = \int_a^b \sqrt{1 + [f'(x)]^2} dx.$$

Je-li křivka dána v polárních souřadnicích  $\rho = \rho(\varphi)$ ,  $\varphi \in \langle \varphi_1, \varphi_2 \rangle$ , platí  $x = \rho \cos \varphi$ ,  $y = \rho \sin \varphi$ , odkud

$dx = (\rho' \cos \varphi - \rho \sin \varphi) d\varphi$ ,  $dy = (\rho' \sin \varphi + \rho \cos \varphi) d\varphi$ , takže

$ds = \sqrt{dx^2 + dy^2} = \sqrt{\rho^2 + \rho'^2} d\varphi$ . Nakonec tedy

$$s(\ell) = \int_{\varphi_1}^{\varphi_2} \sqrt{[\rho(\varphi)]^2 + [\rho'(\varphi)]^2} d\varphi.$$

Pro prostorovou křivku zadanou parametricky máme

$$s(\ell) = \int_{\alpha}^{\beta} \sqrt{[\varphi'(t)]^2 + [\psi'(t)]^2 + [\chi'(t)]^2} dt.$$

### ***Povrch rotační plochy***

Jde o plochy vzniklé rotací křivky  $\ell$  kolem osy  $x$ . Element povrchu plochy je  $\Delta S = 2\pi y \Delta s$ , takže diferenciál povrchu plochy je  $dS = 2\pi y ds$ .

Je-li křivka  $\ell$  dána parametricky:  $x = \varphi(t)$ ,  $y = \psi(t)$ ,  $t \in \langle \alpha, \beta \rangle$ , je

$$S = 2\pi \int_{\alpha}^{\beta} \psi(t) \sqrt{[\varphi'(t)]^2 + [\psi'(t)]^2} dt,$$

je-li křivka  $l$  dána explicitně:  $y = f(x)$ ,  $x \in \langle a, b \rangle$ , je

$$S = 2\pi \int_a^b f(x) \sqrt{1 + [f'(x)]^2} dx.$$

## **12.3. Technické křivky**

Dále uvádíme příklady technických křivek, které se často vyskytují ve výpočtech s využitím integrálu. Kuželosečky v tomto přehledu neuvádíme.

### ***Řetězovka***

Řetězovku vytváří nepružná nit (řetěz) zavěšená ve dvou bodech. Je to graf funkce:

$$y = a \operatorname{ch} \frac{x}{a}, \text{ kde } a > 0$$

$$\text{Platí } ds = \operatorname{ch} \frac{x}{a} dx.$$

### ***Kotálnice***

Při kotálení křivky  $h$  (tzv. tvořící křivky nebo *hybné polodie*) bez skluzu po pevné křivce  $p$  (tzv. základní křivce nebo *pevné polodii*) opíše každý bod roviny křivku, kterou nazýváme *kotálnice*. Důležité jsou případy, kdy hybná polodie je kružnice a pevná polodie přímka nebo kružnice.

### ***Cykloidy***

Jestliže se kružnice  $h$  o poloměru  $a$  kotálí po přímce  $p$ , pak každý (vnější, vnitřní) bod kružnice  $h$  (vzdálený o  $r$  od středu kružnice  $h$ ) pevně spojený s touto kružnicí vytváří tzv. *prostou* (prodlouženou, zkrácenou) cykloidu.

### ***Prostá cykloida***

Parametrické rovnice:

$$x = a(t - \sin t), y = a(1 - \cos t); \text{ jednu větev dostaneme pro } t \in \langle 0, 2\pi \rangle.$$

$$\text{Platí } ds = 2a \sin \frac{t}{2} dt.$$

### ***Prodloužená (zkrácená) cykloida***

Parametrické rovnice:

$$x = a t - r \sin t, y = a - r \cos t.$$

$$\text{Platí } ds = \sqrt{a^2 + r^2 - 2 a r \cos t} dt.$$

### ***Epicykloidy a hypocykloidy***

Jestliže se kružnice  $h$  o poloměru  $a$  kotálí po vnějším resp. vnitřním obvodu kružnice  $p$  o poloměru  $A$ , pak každý (vnější, vnitřní) bod kružnice  $h$  (vzdálený o  $r$  od středu kružnice  $h$ ) pevně spojený s touto kružnicí vytváří tzv. *prostou (prodlouženou, zkrácenou) epicykloidu* resp. *hypocykloidu*. Parametrické rovnice prosté epicykloidy (platí horní znaménko) a hypocykloidy (platí dolní znaménko):

$$x = (A + a) \cos t \mp a \cos \frac{A \pm a}{a} t, y = (A \pm a) \sin t \mp a \sin \frac{A \pm a}{a} t.$$

### ***Asteroida***

Zvaná též *astroida* patří mezi kotálnice; asteroidu opisuje každý bod kružnice o poloměru  $\frac{a}{4}$ , která se bez smyku kotálí zevnitř po kružnici o poloměru  $a$ . Je to tedy

prostá hypocykloida, kde  $A = \frac{a}{4}$ . Parametrické rovnice:

$$x = a \cos^3 t, y = a \sin^3 t, t \in \langle 0, 2\pi \rangle.$$

$$\text{Platí } ds = 3a \sin t \cos t dt.$$

### ***Kardioida***

Patří mezi kotálnice; kardioidu opisuje každý bod kružnice o poloměru  $a$ , která se bez smyku kotálí vně po kružnici o poloměru  $a$ . Je to tedy prostá epicykloida, kde  $A = a$ . Rovnice v polární soustavě:

$$\rho = a (1 + \cos \varphi), \varphi \in \langle 0, 2\pi \rangle.$$

$$\text{Platí } ds = 2 \cos \frac{\varphi}{2} d\varphi.$$

### ***Evolventa kružnice***

Lze ji zařadit mezi kotálnice (kde  $h$  je přímka a  $p$  je kružnice) i mezi spirály. Jako každá evolventa křivky vznikne tak, že počínaje počátečním bodem nanášíme na tečnu délku oblouku mezi počátečním bodem a bodem dotyku tečny s křivkou. (Evolventu kružnice tedy vytváří konec napjaté niti odmotávané z kruhové cívky.) Parametrické rovnice:

$$x = a(t \sin t + \cos t), y = a(\sin t - t \cos t).$$

$$\text{Platí } ds = a t dt.$$

### **Archimédova spirála**

Je to spirála s konstantní šířkou jednotlivých závitů. Je vytvořena rovnoměrným pohybem bodu po průvodiči, který se rovnoměrně otáčí kolem pólu. Rovnice v polární soustavě:

$$r = a \varphi.$$

Platí  $ds = a \sqrt{1 + \varphi^2} d\varphi$ .

### **Logaritmická spirála**

Rovnice v polární soustavě:

$$\rho = a e^{m\varphi}.$$

Vyskytuje se např. v kresbě ulit plžů. Platí  $ds = a \sqrt{1 + m^2} e^{m\varphi} d\varphi$ .

### **Lemniskáta**

Je to množina bodů které mají od dvou daných pevných bodů stálý součin vzdáleností. Rovnice v polární soustavě:

$$\rho^2 = 2 a^2 \cos 2\varphi.$$

Délku nelze vyjádřit užitím elementárních funkcí.

### **Šroubovice**

Je to příklad prostorové křivky. Šroubovice leží na válcové ploše  $x^2 + y^2 = a^2$ , rozvinutím válcové plochy přejde každý závit šroubovice v úsečku.

Parametrické rovnice:

$$x = a \cos t, \quad y = a \sin t, \quad z = c t, \quad \text{jeden závit pro } t \in \langle 0, 2\pi \rangle.$$

Platí  $ds = \sqrt{a^2 + c^2} dt$ .

## **12.4. Užití určitého integrálu ve fyzice**

### **Hmotnost rovinné desky**

Mějme spojitou kladnou funkci  $f$  a uvažujme rovinnou desku ve tvaru základního obrazce (křivočarého lichoběžníku) pro  $x \in \langle a, b \rangle$ ; necht'  $\sigma$  je plošná konstantní hustota materiálu.

Je-li deska homogenní, tj.  $\sigma = \text{konst.}$ , je hmotnost této desky rovna

$$m = \sigma \int_a^b f(x) dx.$$

Je-li hustota desky funkcí  $x$ , je

$$\int_a^b \sigma(x) f(x) dx.$$

### ***Těžiště rovinné desky***

Nyní uvažujme jeden element desky, který má šířku  $\Delta x (= dx)$ . Statický moment tohoto elementu vzhledem k ose  $x$  je  $dM_x = (y dx) \cdot \sigma \cdot \frac{1}{2} y$  (hmotnost elementu násobená ramenem síly), podobně  $dM_y = (y dx) \cdot \sigma \cdot x$ . Statický moment celé (homogenní) desky vzhledem k osám je  $M_x = \frac{1}{2} \sigma \int_a^b y^2 dx$ ,  $M_y = \sigma \int_a^b x y dx$ .

Těžiště  $T[\xi, \eta]$  rovinné desky je bod, který má vzhledem k souřadnicovým osám stejný statický moment jako celá deska, pokud za jeho hmotnost považujeme hmotnost  $m$  celé desky. Proto  $m \xi = M_y$ ,  $m \eta = M_x$  a z toho (po zkrácení  $\sigma$ )

$$\xi = \frac{\int_a^b x y dx}{\int_a^b y dx}, \quad \eta = \frac{\frac{1}{2} \int_a^b y^2 dx}{\int_a^b y dx}.$$

Pokud má deska tvar oblasti normální vzhledem k ose  $x$ , tj. je-li  $a \leq x \leq b$ ,  $y_1 \leq y \leq y_2$ , pak lze podobně odvodit vzorce pro souřadnice těžiště; dostaneme je z předchozích záměnou  $y_2 - y_1$  za  $y$  (ve jmenovatelích obou zlomků a v čitateli prvního zlomku) a  $y_2^2 - y_1^2$  za  $y^2$  (v čitateli druhého zlomku).

### ***Hmotnost křivky***

Uvažujme rovinnou homogenní křivku danou parametricky s konstantní délkovou hustotou  $\sigma$ . Pak

$$m = \sigma \int_a^\beta \sqrt{[\varphi'(t)]^2 + [\psi'(t)]^2} dt.$$

### ***Těžiště křivky***

Při odvození vzorců se postupuje podobně jako u těžiště rovinné desky. Je zde  $dM_x = \sigma y ds$ ,  $dM_y = \sigma x ds$ , tedy

$$M_x = \sigma \int_a^\beta \psi(t) \sqrt{[\varphi'(t)]^2 + [\psi'(t)]^2} dt, \quad M_y = \sigma \int_a^\beta \varphi(t) \sqrt{[\varphi'(t)]^2 + [\psi'(t)]^2} dt.$$

Z rovností  $m \xi = M_y$ ,  $m \eta = M_x$  pak plyne, že rovinná homogenní křivka zadaná parametricky má těžiště  $T[\xi, \eta]$ , kde

$$\xi = \frac{\int_a^\beta \varphi(t) \sqrt{[\varphi'(t)]^2 + [\psi'(t)]^2} dt}{\int_a^\beta \sqrt{[\varphi'(t)]^2 + [\psi'(t)]^2} dt}, \quad \eta = \frac{\int_a^\beta \psi(t) \sqrt{[\varphi'(t)]^2 + [\psi'(t)]^2} dt}{\int_a^\beta \sqrt{[\varphi'(t)]^2 + [\psi'(t)]^2} dt}.$$

Vidíme, že těžiště homogenní rovinné desky ani těžiště homogenní křivky nezávisí na hustotě.

- \* -